

5. Bribiesca, E. A chain code for representing 3-D curves / E. Bribiesca // Pattern Recog, 2000. – Vol. 33, №. 5. – P. 755–765.

6. Гонсалес, Р. Цифровая обработка изображений в среде MATLAB / Р. Гонсалес, Р. Вудс, С. Эддинс. – М. : Техносфера, 2006. – 616 с.

7. Рудаков, П. И. Обработка сигналов и изображений. MATLAB 5.x / П. И. Рудаков, И. В. Сафонов. – М. : ДИАЛОГ-МИФИ, 2000. – 416 с.

8. PublicHealth [Электронный ресурс]. – Режим доступа: <https://phil.cdc.gov/Details.aspx?pid=189>. – Дата доступа: 07.08.2021.

УДК539

## МОДЕЛИРОВАНИЕ НАПРЯЖЕННО-ДЕФОРМИРОВАННОГО СОСТОЯНИЯ ЦИЛИНДРА, ПОДВЕРЖЕННОГО ДАВЛЕНИЮ В УПРУГОПЛАСТИЧЕСКОМ СЛУЧАЕ

Гундина М.А., Юхновская О.В.

*Белорусский национальный технический университет  
Минск, Республика Беларусь*

**Аннотация.** В данной статье рассматривается решение задачи определения напряженно-деформированного состояния толстостенного цилиндра, подверженного внутреннему и внешнему давлению, реализованные в компьютерной системе WolframMathematica.

**Ключевые слова:** напряженно-деформированное состояние, толстостенный цилиндр, метод конечных элементов.

## SIMULATION OF THE STRESS-DEFORMED STATE OF A CYLINDER UNDER PRESSURE IN PLASTIC CASE

Hundzina M., Yuhnovskaya O.

*Belarusian National Technical University  
Minsk, Belarus*

**Abstract.** This article discusses the solution to the problem of determining the stress-strain state of a thick-walled cylinder subject to internal and external pressure, implemented in the Wolfram Mathematica computer system.

**Key words:** stress-strain state, thick-walled cylinder, finite element method.

*Адрес для переписки: Юхновская О.В., пр. Независимости, 65, г. Минск 220113, Республика Беларусь  
e-mail: juhnovskaja@bntu.by*

Исходя из опыта эксплуатации и проведенных исследований, основными факторами, определяющими долговечность цилиндрических изделий, можно назвать следующие: внешние механические нагрузки; нагрузки, связанные с совершением рабочего цикла; воздействие рабочей и окружающей среды; длительная эксплуатация и хранение этих изделий [1].

Поэтому моделирование напряженно-деформированного состояния толстостенных цилиндров представляет значительный интерес с точки зрения обеспечения работоспособности конструкции. Проведены исследования данной тематики в отечественной и зарубежной литературе. В исследованиях Куликова И.С. и Ширвеля П.И. рассмотрен случай неосесимметричного НДС однородного бесконечно длинного, сплошного цилиндра, находящегося в температурном поле  $T$  и подвергающегося действию радиационного распухания и внешнего давления. Разработана схема численного решения данной задачи в перемещениях, с дальнейшим построением тензоров деформаций и напряжений в любой точке по периметру цилиндра [2]. В статье Бульбовича Р.С. определено напряженно-деформированное состояние ортотропного упругопластического тела метода конеч-

ных элементов на примере толстостенной трубы, нагруженной внутренним давлением [3]. В статье Зайцева В.Ю. и Порунова Д.С. приведена оценка напряжения и перемещения во внутреннем объеме цилиндрических изделий под воздействием различных механических нагрузок [1].

В работе Сало В.А. предлагает использование RVR-метода для решения пространственной задачи о напряженно-деформированном состоянии толстостенного цилиндра, который находится под действием статической нагрузки при различных граничных условиях на торцах [4].

Рассмотрим цилиндр с внутренним радиусом  $R_1$  (0,8 мм) и внешним радиусом  $R_2$  (3,8 мм). Высота цилиндра составляет 10 мм. Пусть на этот цилиндр действует внутреннее давление  $P_i$  и внешнее давление  $P_0$ . Эту задачу можно рассматривать как случай плоского напряжения ( $\sigma_z = 0$ ) либо как случай плоской деформации ( $\varepsilon_z = 0$ ).

Рассмотрим концы цилиндра, которые могут свободно расширяться. Пусть  $\sigma_z = 0$ . За счет равномерной радиальной деформации  $\tau_n$ ,  $\sigma_\varphi$  и  $\sigma_r$  обозначают касательные и радиальные напряжения, действующие перпендикулярно сторонам элемента (рис. 1).

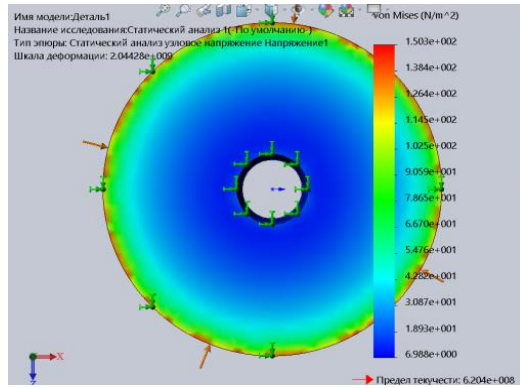


Рисунок 1 – Схема нагружения цилиндра в случае действия  $P_0$

Для упругопластического сплошного цилиндра имеем компоненты вектора приращений:

$$u_r(r, \varphi) = \sum_{n \geq 0} U_n(\varphi) r^{\lambda_n}, \quad u_\varphi(r, \varphi) = \sum_{n \geq 0} V_n(\varphi) r^{\lambda_n}.$$

Соотношения Коши в полярной системе координат имеют вид:

$$\varepsilon_{rr} = u_{r,r} = \sum_{n=0}^{\infty} \lambda_n U_n r^{\lambda_n - 1},$$

$$\varepsilon_{\varphi\varphi} = \frac{u_{\varphi,\varphi}}{r} + \frac{u_r}{r} = \sum_{n=0}^{\infty} (V_n' + U_n) r^{\lambda_n - 1},$$

$$\varepsilon_{r\varphi} = \frac{1}{2} (u_{\varphi,r} + u_{r,\varphi} / r - u_\varphi / r) = \frac{1}{2} \sum_{n=0}^{\infty} (\lambda_n V_n + U_n' - V_n) r^{\lambda_n - 1}$$

где  $\varepsilon_{rr}$ ,  $\varepsilon_{r\varphi}$ ,  $\varepsilon_{\varphi\varphi}$  – физические проекции компонент тензора деформаций;  $u_r$ ,  $u_\varphi$  – компоненты вектора перемещений.

Скорость будем определять следующим образом:

$$\frac{df}{dt} = \frac{\partial f}{\partial t} - v \left( \cos \phi \frac{\partial f}{\partial r} - \frac{\sin \phi}{r} \frac{\partial f}{\partial \phi} \right),$$

где  $v$  – скорость роста трещины.

Запишем соотношения теории течения, которые описывают зависимость между компонентами девиаторов деформаций и напряжений при  $i, j = r, \varphi$  [5]:

$$s_{rr} = 2G_0 \dot{\varepsilon}_{rr} - p(E) \dot{E} \varepsilon_{rr},$$

$$s_{r\varphi} = 2G_0 \dot{\varepsilon}_{r\varphi} - p(E) \dot{E} \varepsilon_{r\varphi},$$

$$s_{\varphi\varphi} = 2G_0 \dot{\varepsilon}_{\varphi\varphi} - p(E) \dot{E} \varepsilon_{\varphi\varphi},$$

где  $s_{ij}$ ,  $\dot{\varepsilon}_{ij}$  – приращения компонент девиаторов напряжений и деформаций.

$E = \varepsilon_{rr}^2 - \varepsilon_{rr} \varepsilon_{\varphi\varphi} + \varepsilon_{\varphi\varphi}^2 + 3\varepsilon_{r\varphi}^2$  – функция интенсивности деформаций;

$$p(E) = \sum_{n=0}^{\infty} b_n E^n.$$

Рассмотрим представление среднего напряжения также в виде асимптотического разложения в следующем виде:

$$\sigma = \sum_{n \geq 0} W_n(\varphi) r^{\lambda_n - 1},$$

Запишем необходимые уравнения равновесия в полярной системе координат для плоской задачи:

$$\frac{\partial \dot{\sigma}_{rr}}{\partial r} + \frac{1}{r} \frac{\partial \dot{\sigma}_{r\varphi}}{\partial \varphi} + \frac{1}{r} (\dot{\sigma}_{rr} - \dot{\sigma}_{\varphi\varphi}) = 0,$$

$$\frac{1}{r} \frac{\partial \dot{\sigma}_{\varphi\varphi}}{\partial \varphi} + \frac{\partial \dot{\sigma}_{r\varphi}}{\partial r} + 2 \frac{\dot{\sigma}_{r\varphi}}{\partial r} = 0,$$

$$u_\varphi = 0 \text{ при } r = 0, \quad \sigma_r = -P \text{ при } r = R.$$

### Литература

1. Зайцев, В. Ю. Модели напряженно-деформированного состояния толстостенных цилиндров / В. Ю. Зайцев, Д. С. Порунов. – Научно-методический электронный журнал «Концепт». – 2014. – Т. 20. – С. 1771–1775.
2. Ширвель, П. И. О неосесимметричном НДС неравномерно нагретого длинного сплошного цилиндра, подверженного нейтронному облучению / П. И. Ширвель, И. С. Куликов // Машиностроение : республиканский межведомственный сборник научных трудов / Белорусский национальный технический университет; под ред. Б. М. Хрусталева. – Минск : БНТУ, 2009. – Вып. 24, т. 1. – С. 184–189.
3. Бульбович, Р. В. Расчет напряженно-деформированного состояния толстостенного цилиндра из ортотропного упругопластического материала при помощи модифицированного метода переменных параметров упругости с использованием метода конечных элементов / Р. В. Бульбович, В. В. Павлоградский, П. П. Еременко. – Пермь : Пермский национальный политехнический университет, 2015. – Т. 1. – С. 75–77.
4. Сало, В. А. Расчет напряженно-деформированного состояния толстостенного цилиндра при различных граничных условиях на его торцевых поверхностях / В. А. Сало. – Харьков : НТУ «ХПИ», 2004. – № 3. – С. 43–47.
5. Trifan, D. A new theory of plastic flow / D. Trifan // Quarterly of Applied Mathematics. – 1949. – No. 7. – P. 201–211.